

مطالعه اثر پلیمر پلی‌هما به عنوان بستر کشت سلولی بر روی رشد و حفظ ماهیت سلول‌های پوششی رنگدانه‌دار شبکیه‌ی چشم

فاطمه ناظم رعایا^۱، دکتر زهرا سهیلا سهیلی^۲، راضیه حیدری^۱، دکتر عبدالخالق دیزجی^۲، دکتر حمید احمدیه^۳، دکتر شهرام سمیعی^۳، ابوذر باقری^۱

مقاله پژوهشی

چکیده

مقدمه: سلول‌های پوششی رنگدانه‌دار شبکیه، نقشی اساسی در عملکرد طبیعی شبکیه دارند. ژن تیروزیناز با ساخت ملانین موجب پیگمانته شدن این سلول‌ها می‌شود. پلیمر پلی‌هما (Polymer polyHEMA) یا ۲-Hydroxyethyl methacrylate (HEMA) جزء اصلی ساختار لنزهای تماسی است. در مطالعه‌ی حاضر، اثر پلیمر پلی‌هما به عنوان بستر کشت سلولی بر روی رشد و حفظ ماهیت سلول‌های پوششی رنگدانه‌دار شبکیه‌ی چشم انسان بررسی شد.

روش‌ها: سلول‌های پوششی رنگدانه‌دار شبکیه، در پاساز ۲–۵ بر روی پلیمر پلی‌هما (FBS ۱۲ mg/ml) تحت محیط (Fetal bovine serum) DMEM/F12 + ۱۰ درصد + ۱۰ درصد اسٹرین (Dulbecco's modified Eagle's medium) کشت شدند. مورفولوژی، زنده بودن سلول‌ها، تکثیر و مرگ سلولی در یک دوره‌ی زمانی مشخص بررسی شد. بیان نشانگر تیروزیناز در این سلول‌ها، توسط تکنیک Real time PCR (Real time polymerase chain reaction) بررسی شد.

یافته‌ها: سلول‌های کشت شده بر روی پلیمر، تعداد زیادی کلونی تشکیل می‌دهند که توانایی بازیابی در محیط پلی‌استرین را دارند. سلول‌های زنده بر روی سطح پلیمر و پلی‌استرین مشابه هستند و مرگ سلولی بر روی پلیمر و پلی‌استرین قابل چشم‌پوشی است، اما تکثیر سلولی در نمونه‌های پلیمر خیلی کمتر از پلی‌استرین است. بیان ۴۳۴/۶۵ برابری ژن تیروزیناز در سلول‌های کشت شده بر روی پلیمر نسبت به پلی‌استرین دیده شد.

نتیجه‌گیری: پلی‌هما یک پلیمر آب‌گریز است. وقتی سلول‌های پوششی رنگدانه‌دار شبکیه، بر روی پلیمر کشت می‌شوند، قادر به چسبیدن به سطح پلیت سلولی نیستند و کلونی‌های بزرگ تشکیل می‌دهند. پلیمر، القا کننده‌ی مرگ سلولی در این سلول‌ها نیست و تکثیر نیز به علت ممانعت تماسی سلول‌ها و یا عدم نفوذ Anti-BrdU به داخل کلونی‌های متراکم، کمتر از گروه شاهد است. بیان بالای RPE65 Cytokeratin، Tyrosinase نشان می‌دهد که پلیمر با حفظ ماهیت این سلول‌ها به ایجاد بیشتر رنگدانه‌ی ملانین کمک می‌کند.

وازگان کلیدی: سلول‌های پوششی رنگدانه‌دار شبکیه‌ی چشم، پلیمر پلی‌هما، تیروزیناز

ارجاع: ناظم رعایا فاطمه، سهیلا سهیلی زهرا، حیدری راضیه، دیزجی عبدالخالق، احمدیه حمید، سمیعی شهرام، باقری ابوذر. **مطالعه اثر پلیمر پلی‌هما به عنوان بستر کشت سلولی بر روی رشد و حفظ ماهیت سلول‌های پوششی رنگدانه‌دار شبکیه‌ی چشم.** مجله دانشکده پزشکی اصفهان

۳۰۰: ۳۲: ۱۳۹۳: :: ۳۲

۱- کارشناس ارشد، پژوهشگاه ملی مهندسی ژئوتکنیک و زیست فناوری، تهران، ایران

۲- استادیار، پژوهشگاه ملی مهندسی ژئوتکنیک و زیست فناوری، تهران، ایران

۳- استادیار، مرکز تحقیقات چشم، دانشگاه علوم پزشکی شهید بهشتی، تهران، ایران

۴- استادیار، سازمان انتقال خون، تهران، ایران

نویسنده‌ی مسؤول: فاطمه ناظم رعایا

Email: nazemroaya@yahoo.com

است. با این حال، به نظر می‌رسد که تخریب اکسیژن فعال در لیزوزوم‌ها با سنتز ملانین در ارتباط است. به هر حال، محتوای ملانین سلول‌های پوششی رنگدانه‌دار شبکیه‌ی چشم، با افزایش سن کاهش می‌یابد که خود ناشی از تخریب ناشی از اکسیداسیون می‌باشد؛ یک سری تغییرات وابسته به سن، در ملانین رخ می‌دهد که منجر به کاهش فعالیت آن می‌شود (۶).

مانین در توسعه و تکامل شبکیه‌ی عصبی و فعالیت‌هایی مانند تولید رادیکال آزاد، پیوند شدن به بسیاری از مواد شیمیایی و داروها، به دام انداختن رادیکال آزاد و ممانعت از فعالیت آنتی‌اکسیدانی (۶-۷)، جذب طول موج‌های مختلف نور و ممانعت از بازتاب نور نقش دارد.

این سلول‌ها گرانول نور را جذب می‌کنند و دید را بهبود می‌بخشنند. همچنین در تبدیل Trans به Cis¹¹ (در سیکل ویتامین A) دخالت دارند. گیرنده‌های نوری قادر به ایزومریزاسیون کردن مجدد رتینال تمام ترانس (تشکیل شده پس از جذب فوتون) به رتینال Cis¹¹ هستند. جهت تحریک گیرنده‌های نوری، رتینال وارد سلول‌های پوششی رنگدانه‌دار شبکیه‌ی چشم می‌شود و به Cis¹¹ رتینال ایزومریزه می‌گردد و در نهایت، به گیرنده‌ی نوری باز می‌گردد. این روند چرخه‌ی رتینال نام دارد (۲).

نشانگرهای سلول‌های پوششی رنگدانه‌دار شبکیه‌ی چشم

سلول‌های پوششی رنگدانه‌دار شبکیه‌ی چشم، سلول‌های اپیتلیالی هستند که بیان نشانگر اختصاصی سلول‌های اپیتلیالی (سایتوکراتین ۱۸/۸) و نشانگر مخصوص سلول‌های رنگدانه‌دار شبکیه‌ی چشم (RPE65) برای شناسایی این سلول‌ها به کار می‌رود.

مقدمه

سلول‌های پوششی رنگدانه‌دار شبکیه‌ی چشم، سلول‌های چند وجهی قطبی هستند که از میلیون‌ها پیگمان تیره تشکیل شده‌اند. این سلول‌های قطبی، مانند سایر سلول‌های اپیتلیالی و همه‌ی اجزای سلولی، در امتداد یک محور رأسی پایه‌ای در طول سلول جایابی کرده‌اند. اتصالات محکم که لازمه‌ی تشکیل سد خونی شبکیه است، انتشار قطبی کانال‌های یونی و گیرنده‌های غشایی را در سطوح رأسی پایه‌ای کناری سلول رنگدانه‌دار شبکیه‌ی چشم تضمین می‌کند (۱).

سلول‌های رنگدانه‌دار شبکیه‌ی چشم، سازنده‌ی فوتو پیگمان‌ها هستند و در بازسازی پیگمان‌ها دخالت دارند. حضور گرانول‌های ملانین در ناحیه‌ی رأسی سلول‌های پوششی رنگدانه‌دار شبکیه‌ی چشم (به نام ملانوزوم) این سلول‌ها را رنگدانه‌ای می‌کند. لیپوفوشین گرانول‌های اتوفلورسنت زرد مایل به قهوه‌ای است که مخلوطی از لیپید و ترکیبات فلورسنت است که در طی متابولیسم قطعات خارجی گیرنده‌های نوری به عنوان محصول جانبی غیر قابل تجزیه، تولید می‌شود. مهم‌ترین ترکیبات فلورسنت آن (A²E N-retinylidene-N-retinylethanolamine) از مشتقات ویتامین A است که تجمع آن آپوپتوز را در سلول‌های پوششی رنگدانه‌دار شبکیه‌ی چشم القا می‌کند. تراکم لیپوفوشین یکی از اولین تغییرات وابسته به سن است و به نظر می‌رسد یک محصول متابولیک دفعی حاصل از قطعات خارجی گیرنده‌ی نوری سلول‌های استوانه‌ای است (۲-۵).

بسیاری از فعالیت‌های سنتز ملانین و بلوغ، به احتمال زیاد تا سن دو سالگی کامل می‌شود و تولید مدام آن در طول زندگی یک مسئله‌ی بحث برانگیز

زیادی آب (حدود ۴۵ درصد) را دارد. آب فضای بین مولکولی، شبکه‌ی پلیمر را پر می‌کند. توانایی هیدروژل در جذب آب به عنوان سود این ماده در لانه‌گزینی بافت نرم است (۱۱). این هیدروژل منفذدار، می‌تواند به عنوان ماده‌ی زیستی اسفنج مانند در پیوند سنتیک در تعمیر غضروف استخوان و دیگر بافت‌ها به کار رود (۱۲-۱۳).

این هیدروژل در شکل غلیظ در ساختار لنز نرم به کار می‌رود. به نقل از Seidel و Malmonge این پلیمر اولین بار توسط Wichterle به عنوان محتوای لنز مطالعه شد. حل این پلیمر در آب، اجازه‌ی تشکیل ساختار منفذدار را می‌دهد که میزان منافذ آن بستگی به میزان رقت دارد (۱۴).

پلیمر پلی‌هاما در ساختار لنز به صورت Copolymer به کار می‌رود که ژل را نازک‌تر و جذب آب را بیشتر می‌کند. در نتیجه، این پلیمر به علت Copolymer شدن در ساختار لنز، خاصیت Copolymer آب‌دوستی پیدا می‌کند (۱۵، ۱۰). این زمینه‌ی ساخت اپی‌نفرین و ملانین را فراهم می‌کند و در نتیجه، جاذب نور مرئی و ماورای بنفش است. ارزش پلی‌هاما به علت ماده‌ی ستزی لنز تماسی و لنز کریستالین مصنوعی است که باعث محافظت چشم افرادی است که لنز خود را از دست داده‌اند. این پلیمر به دلیل سازگاری زیستی، غیر سمی بودن و کاربرد آن در ساختار لنز، مورد توجه محققین قرار گرفته است (شکل ۱) (۱۶).

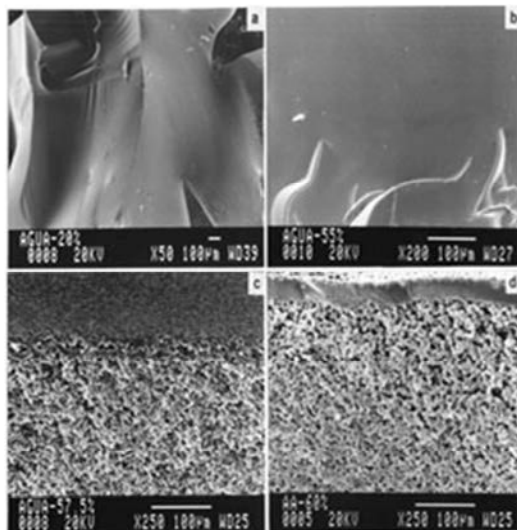
در این مطالعه، سلول‌های پوششی رنگدانه‌دار شبکیه‌ی چشم بر روی پلیمر پلی‌هاما (به عنوان داریسیت سلولی) کشت داده شدند و FBS (Fetal Bovine Serum) به عنوان عامل رشد در

همچنین تیروزیناز به عنوان مونوفنول مونواکسیژناز شناخته شده است. این آنزیم با اکسیداسیون ترکیبات فنول‌دار (تیروزین و دوپامین) موجب ایجاد رنگدانه می‌گردد و در حیوانات و گیاهان با عمل اکسیداسیون خود، موجب تولید ملانین و دیگر پیگمان‌ها می‌شود که ایجاد کننده‌ی رنگ تیره در آن‌ها است (۷). در انسان این آنزیم توسط ژن TYR کد می‌شود. این ژن بر روی کروموزم ۱۱ قرار گرفته است و جهش در این ژن، باعث ایجاد آلیینیسم نوع ۱ می‌شود (۸). این آنزیم از نظر خصوصیت ساختاری توزیع در بافت و مکان سلولی در موجودات مختلف، متفاوت است. در انسان این آنزیم یک پروتئین درون غشایی است که به سمت ملانوزوم‌ها قرار می‌گیرد و سایت فعل آن در ملانوزوم است و قسمت کوچکی از پروتئین در سیتوپلاسم می‌آید (۹).

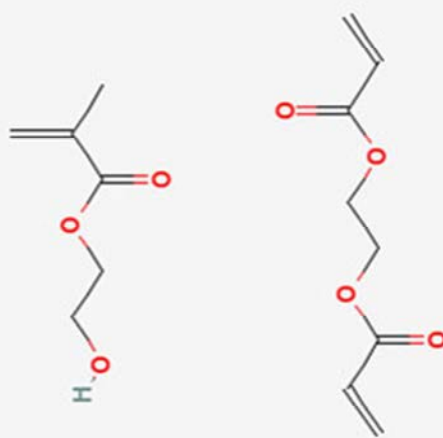
پلیمر پلی‌هاما

پلیمر پلی‌هاما (Polymer polyHEMA) یا ۲-Hydroxyethyl methacrylate است که از واحدهای مونومری ۲-هیدروکسی اتیل متاکریلیت تشکیل شده است. پلیمر پلی‌هاما دارای ساختار آب‌گریز است، در نتیجه سلول‌های آب‌دوست قادر به چسبیدن به سطح پلیمر نیستند و به صورت غیر چسبنده و معلق روی سطح این پلیمر قرار می‌گیرند. در واقع سلول‌ها در فضای سه بعدی محیط و پلیمر قرار می‌گیرند (۱۰).

شکل ساختاری این ماده، خصوصیت سطحی نشت ناپذیر واحدی به آن می‌دهد که مشابه به بافت زنده می‌شود. طبیعت ساختاری این هیدروژل، آب است که باعث خارج کردن واکنش‌های نامطلوب در حین تولید آن می‌شود. این پلیمر توانایی جذب مقدار



شکل ۱. نمای فیزیکی پلیمر پلی‌هاما



www.ChemDrug.com

خشک شود. به منظور استریل کردن، ظرف حاوی پلیمر به مدت ۳۰ دقیقه زیر نور ماورای بتنفس قرار گرفت. در موقع استفاده از این پلیمر، سطح آن دو بار با PBS (Phosphate buffered saline) و یک بار با محیط DMEM/F12 شستشو داده شد. بعد از این مراحل، امکان کشت سلول‌ها بر روی پلیمر فراهم شد.

جداسازی و کشت سلول‌های پوششی رنگدانه‌دار

شبکیه‌ی چشم

کره‌های چشم جدا شده از نوزادان فوت شده‌ی زیر یک سالی که حداقل ۲۴ ساعت از تاریخ فوتشان گذشته بود، تحت شرایط استریل از بانک چشم جمهوری اسلامی ایران به آزمایشگاه بیوشیمی پژوهشکده‌ی ملی مهندسی ژئوتک و زیست فن‌آوری منتقل گردید.

پس از جداسازی بافت‌های چربی، لایه‌ی قهوه‌ای رنگ پیگمانته جدا شد و به تکه‌هایی در ابعاد کوچک قطعه قطعه گردید و به ۳-۵ ml محلول آنزیمی دیسپاز منتقل گردید (۱ ml از این آنزیم ۱/۱ واحد فعالیت دارد؛ برای تهیه‌ی ۱ ml آنزیم ۱ mg از پودر

اختیار آن‌ها قرار داده شد. سپس اثر پلیمر پلی‌هاما به عنوان بستر کشت سلولی بر روی رشد سلول‌های پوششی رنگدانه‌دار شبکیه و نیز ساخت ملانین در نتیجه‌ی بیان ژن تیروزیناز در سلول‌های پوششی رنگدانه‌دار شبکیه‌ی کشت شده بر روی پلیمر پلی‌هاما بررسی گردید.

روش‌ها

پلیمر پلی‌هاما

محلول x: ۱۲۰ mg ۱۰ x پودر پلی‌هاما وزن شد و در ۱ ml اتانول ۹۵ درصد حل شد تا غلظت ۱۲۰ mg/ml تهیه شود. سپس محلول در دستگاه Shaker در دمای ۶۵ °C ۸ ساعت و دور ۱۹۰ rpm قرار گرفت تا به طور کامل حل شود. حذف ناخالصی‌ها با سانتریفیوژ ۲۰ دقیقه‌ای در دور ۲۰۰۰ g انجام گردید. با توجه به حجم ظرف مورد نظر، ۱۲ mg/ml از محلول x برداشته و در ظرف موردنظر ریخته شد. ظرف موردنظر در زیر هود روشن به مدت ۱۲ ساعت قرار گرفت تا پلیمر کامل

تعداد 1×10^4 سلول رنگدانه‌دار شبکیه‌ی چشم در پاساژ ۴، در هر حفره از پلیت ۲۴ خانه‌ی پوشیده شده با پلی‌ها همراه با محیط DMEM/F12 غنی شده با ۱۰ FBS درصد کشت داده شدند. سلول‌های کشت داده شده به مدت ۴۸ ساعت در دمای 37°C قرار گرفتند. پس از گذشت ۴۸ ساعت از کشت اولیه، به هر خانه $50\text{ }\mu\text{l}$ از ماده‌ی MTT اضافه شد و پلیت به مدت ۲۴ ساعت در دمای 37°C قرار گرفت. سپس $500\text{ }\mu\text{l}$ DMSO (Dimethyl sulfoxide) به هر خانه اضافه گردید و بعد از ۱–۲ ساعت انکوباسیون در 37°C با سرنگ انسولین پیپتاژ شد. جذب نمونه‌ها در دو طول موج 580 nm خوانده شد.

الیزای تکثیر سلولی رنگدانه‌دار شبکیه‌ی چشم

(Cell proliferation ELISA assay)

به منظور سنجش اثر پلیمرپلی‌ها بر رشد و تکثیر سلول‌های رنگدانه‌دار شبکیه‌ی چشم، آزمون الیزا (Enzyme-linked immunosorbent assay) یا ELISA) یا درجه تکثیر سلولی بر روی این سلول‌ها انجام شد. سلول‌های رنگدانه‌دار شبکیه‌ی چشم بر روی چاهک پوشیده شده با پلیمر پلی‌ها تحت تأثیر محیط DMEM/F12 غنی شده با ۱۰ FBS درصد پاساژ ۴ کشت شدند و میزان تکثیر سلولی آن‌ها در مقایسه با تکثیر این سلول‌ها در محیط پلی‌استیرن مطابق با دستورالعمل کیت الیزا (شرکت Roche) مورد بررسی قرار گرفت.

الیزای تکثیر سلولی بعد از بازیابی کلونی‌ها از روی پلیمر

به منظور بررسی تکثیر سلولی بعد از بازیابی کلونی‌ها از روی پلیمر، ابتدا $10^4 \times 1$ سلول همراه با

در 1 ml محیط کشت DMEM/F12 حل شد). پس از گذشت زمان معین، فالکون حاوی محلول دیسپاز و قطعات بافتی به مدت ۵ دقیقه در 300 g و دمای 4°C سانتریفیوژ (Eppendorf centrifuge) شد. سپس مایع رویی حاوی آنزیم، تخلیه شد و رسوب حاوی سلول‌ها و تکه‌های بافتی در محیط 25 cm^2 DMEM/F12 محلول شدند و به فلاسک 1 ml FBS حاوی آنتی‌بیوتیک‌های فلاسک با DMEM/F12 حاوی آنتی‌بیوتیک‌های پنی‌سیلین و استرپتو‌مایسین به 5 ml رسانده شد تا محیط کشت 20 ml درصد FBS فراهم گردد.

کشت سلول‌های پوششی رنگدانه‌دار شبکیه‌ی چشم

بر روی سطح پلیمر پلی‌ها

بعد از تهیه‌ی پلیمر در ظروف کشت ۲۴ خانه‌ای و شستشوی سطح آن با PBS و محیط $10 \times 1\text{ ml}$ FBS در هر خانه، تحت شرایط درصد 10 ml DMEM/F12 + درصد 10 ml FBS کشت شد.

بازیابی سلول‌های پوششی رنگدانه‌دار شبکیه‌ی چشم از روی پلیمر پلی‌ها

به منظور بررسی وضعیت سلول‌های پوششی رنگدانه‌دار شبکیه‌ی چشم، بعد از کشت ۴۸ ساعته بر روی پلیمر پلی‌ها، سلول‌های معلق در محیط کشت توسط سمپلر از روی پلیمر جمع‌آوری شدند و بعد از سانتریفیوژ ۵ دقیقه‌ای در دور 1500 rpm ، سلول‌های رسوب داده شده بر روی سطح پلی‌استیرن 10 ml درصد DMEM/F12 + 10 ml FBS) کشت شدند.

-۲,۵-diphenyltetrazolium bromide) MTT

۳-(۴,۵-Dimethylthiazol-۲-yl)

این آزمایش نشان دهنده‌ی زنده بودن سلول‌ها است.

(بدون آنتی‌بادی اولیه جهت بررسی اتصال اختصاصی آنتی‌بادی ثانویه به آنتی‌بادی اولیه و بدون آنتی‌بادی اولیه و ثانویه جهت بررسی اتوفلورسانس سلول‌ها و زمینه) در نظر گرفته شدند.

ابتدا ظرف ۲۴ خانه، که هر خانه‌ی آن با پلیمر پلی‌ها پوشش دار شده بود، با اشعه‌ی ماورای بدنفس استریل شد و $10^5 \times 1$ سلول همراه با محیط مورد نظر، به مدت ۴۸ ساعت در دمای 37°C قرار گرفت. سپس در ظرف ۲۴ خانه‌ی دیگری، قطعه‌ی لامل استریل قرار گرفت و با FBS حداقل به مدت ۱ ساعت در دمای 37°C پوشش دار شد. سپس در هر خانه، ۱ ml محیط 10°C درصد حاوی سلول رنگدانه‌دار شبکیه‌ی چشم بازیابی شده از پاساژ مورد نظر کشت شد. این ظرف به مدت ۵ روز در دمای 37°C قرار گرفت و در روز پنجم سایر مراحل ایمونوستیوژنی مطابق دستورالعمل ارایه شده توسط شرکت Santa Cruz انجام شد.

به منظور بررسی گروه شاهد، همین شرایط برای سلول‌های پوششی رنگدانه‌دار شبکیه‌ی چشم بر روی پلی‌استیرن نیز فراهم گردید (رنگ‌آمیزی پروتئین با استفاده از آنتی‌بادی‌های اولیه و ثانویه و رنگ‌آمیزی هسته توسط DAPI یا Diamidino-۲-phenylindole (جدول ۱).

استخراج RNA

به منظور بررسی بیان ژن Tyrosinase در سلول‌های رنگدانه‌دار شبکیه‌ی چشم کشت شده بر روی پلی‌مر پلی‌ها، استخراج RNA از سلول‌های کشت شده (از پاساژ ۲-۵) بر روی پلی‌مر پلی‌ها و پلی‌استیرن (به عنوان شاهد) توسط کیت tripure انجام شد (از

محیط‌های پیش‌گفته در خانه‌های پوشیده شده با پلی‌مر به مدت ۴۸ ساعت کشت داده شدند. سپس سلول‌ها بازیابی و بر روی پلی‌استیرن کشت داده شدند. بعد از ۲۴ ساعت مراحل الیزای تکثیر سلولی انجام شد.

الیزای مرگ سلولی (ELISA assay)

تعداد $10^4 \times 1$ سلول رنگدانه‌دار شبکیه‌ی چشم در پاساژ ۴، بر روی چاهک پوشیده شده با پلی‌مر پلی‌ها تحت تأثیر محیط DMEM/F12 غنی شده با FBS ۱۰ درصد به مدت ۴۸ ساعت در دمای 37°C کشت شدند و میزان مرگ سلولی آن‌ها در مقایسه با مرگ سلولی این سلول‌ها در محیط پلی‌استیرن پس از گذشت ۴۸ ساعت از کشت اولیه، توسط کیت الیزا مورد بررسی قرار گرفت.

ایمونوستیوژن (ICC) یا Immunocytochemistry

سلول‌های رنگدانه‌دار شبکیه‌ی چشم در پاساژهای ۳ و ۴ جهت بررسی بیان و وجود نشانگرهای RPE65 سایتوکراتین در ظرف‌های ۲۴ خانه در محیط‌های حاوی FBS ۱۰ درصد کشت شدند و مورد بررسی قرار گرفتند. RPE65 در اپتیلیال رنگدانه‌ای شبکیه یافت می‌شود و به صورت گرانول در سیتوپلاسم این سلول‌ها ذخیره می‌شود. سایتوکراتین در تمام سلول‌های پوششی ساده (تک لایه و قطبی) مثل سلول‌های پوششی رنگدانه‌دار شبکیه‌ی چشم وجود دارد و جزء خانواده فیلامنت‌های حد واسط است. این شبکه‌ی کراتینی، داخل سیتوپلاسم بافت‌های اپتیلیالی وجود دارد.

چندین حفره از ظرف ۲۴ خانه، به عنوان شاهد

هر واکنش، مخلوط نهایی تهیه شد (جدول ۲). پس از تهیهٔ مخلوط نهایی و فیوژ کردن آن، مخلوط در حجم‌های $9 \mu\text{l}$ در ویال‌های 0.25 ml توزیع و به هر یک μl از cDNA (Complementary DNA) موجود اضافه شد. پس از فیوژ کل حجم $10 \mu\text{l}$ در دستگاه Rotogen قرار گرفت و طبق برنامه‌ی جدول ۳ PCR انجام شد.

یافته‌ها

تشکیل کلونی‌های سلولی

با توجه به این که پلیمر پلی‌ها آب‌گریز است، سلول‌های چسبنده‌ی رنگدانه‌دار شبکیه‌ی چشم قادر به چسبیدن بر روی آن نیستند. در نتیجه، سلول‌ها به یکدیگر متصل می‌شوند و کلونی‌تکیل می‌دهند. از همان ساعت اولیه (دو ساعت اول پس از کشت) سلول‌ها به هم متصل شدند و کلونی‌های کوچک تشکیل دادند. با گذشت زمان کلونی‌های کوچک به یکدیگر متصل شدند و کلونی‌های بزرگ‌تر را تشکیل دادند؛ به طوری که با چشم غیر مسلح هم قابل دیدن بود (شکل ۲).

۳-phosphate dehydrogenase (GAPDH) House keeping gene Glyceraldehyde استفاده شد).

طراحی پرایمر

به منظور بررسی بیان ژن تیروزیناز از پرایمر تیروزیناز شرکت کیاژن با کد شماره‌ی QT^{۰۰۰۷۳۶۴۰} استفاده شد. همچنین ژن GAPDH با سری پرایمری

ACAGTCAGCCGCATCTTC
CTCCGACCTTCACCTTCC

با طول ۷۷ bp و دمای اتصال 62°C به عنوان House keeping به کار گرفته شد.

cDNA

ستز cDNA با استفاده از کیت شرکت کیاژن انجام شد و پس از تنظیم مراحل برای هر یک از پرایمرها با Real time polymerase chain (Real time PCR) ادامه یافت.

Real Time PCR

سنجری کمی بیان ژن‌های مورد نظر توسط Real time PCR انجام شد. قبل از شروع کار، تمام مواد لازم به منظور استریل به مدت ۲۰ دقیقه در معرض نور ماورای بنفش قرار گرفت. سپس به ازای

جدول ۱. آنتی‌بادی‌های اولیه و ثانویه‌ی RPE^{۶۵} و Cytokeratin^{۸/۱۸}

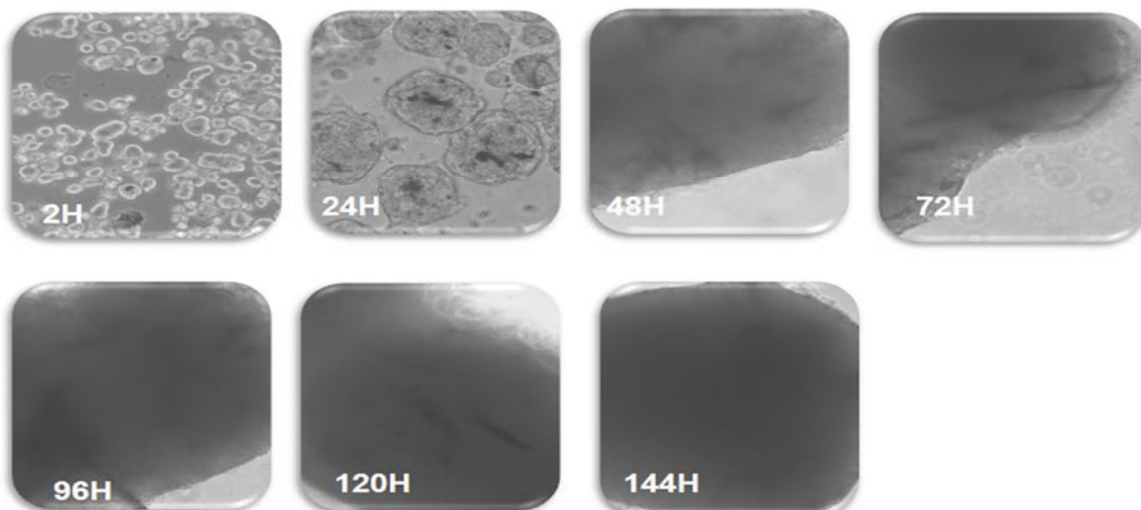
آنتی‌بادی ثانویه	آنتی‌بادی اولیه	اسم پروتئین
(Santa Cruz USA) Goat anti-rabbit IgG-FITC	Rabbit polyclonal antibody	RPE ^{۶۵}
(Santa Cruz USA) Goat anti-mouse IgG-FITC	Mouse monoclonal antibody	Cytokeratin ^{۸/۱۸}

جدول ۲. دستور تهیهٔ مواد نهایی (Real time PCR)

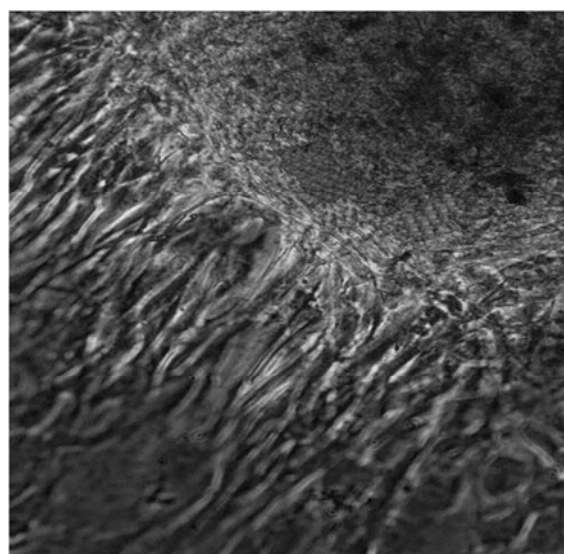
جزئیات سازنده	مقدار	مقدار نهایی (N tube)
Master mix	$2 \mu\text{l}$	2 N
Forward primer	$0.1 \mu\text{l}$	0.1 N
Reverse prime	$0.1 \mu\text{l}$	0.1 N
RNase free water	$5 \mu\text{l}$	5 N
Total volume	$9 \mu\text{l}$	9 N

جدول ۳. پروفایل دمایی Real time PCR برای ژن‌های GAPDH و Tyrosinase (Real time polymerase chain reaction) (Glyceraldehyde 3-phosphate dehydrogenase)

GAPDH	Tyrosinase
توقف (ذوب): ۹۵C، ۱۰ دقیقه	مرحلةی ۱: ۹۵C، ۱۰ ثانیه
سیکل (۴۰ تکرار)	مرحلةی ۲: ۵۲C، ۲۵ ثانیه
مرحلةی ۲: ۶۰C، ۲۵ ثانیه	مرحلةی ۳: ۷۲C، ۲۵ ثانیه
مرحلةی ۳: ۷۳C، ۲۵ ثانیه	
ذوب (۹۵-۷۲)	
توقف ۵ ثانیه تا مرحله بعد	



شکل ۲. بررسی مورفولوژی سلول‌های پوششی رنگدانه‌دار شبکیه بر روی پلیمر پلی‌ها در طی ۱۴۴ ساعت (۱۰۰X).

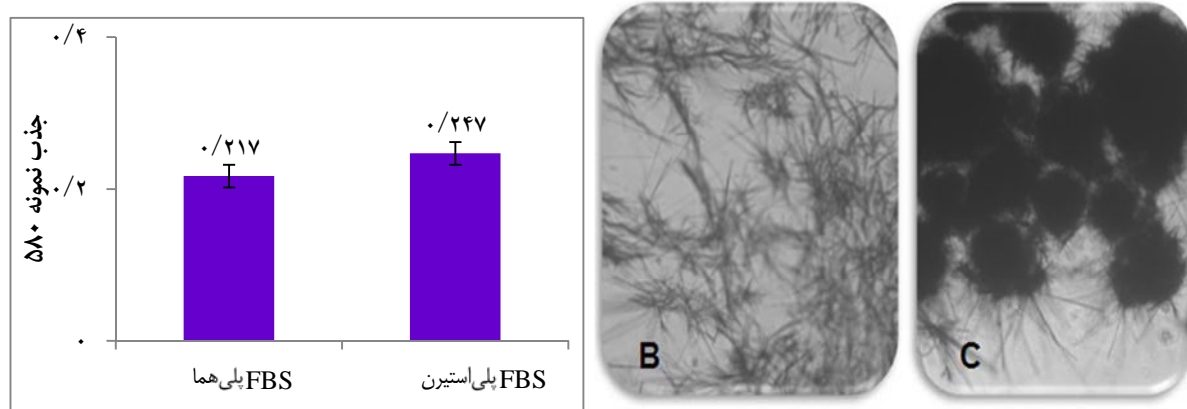


شکل ۳. کشت کلونی‌های سلول‌های پوششی رنگدانه‌دار شبکیه بر روی پلی استرین (۲۰۰X)

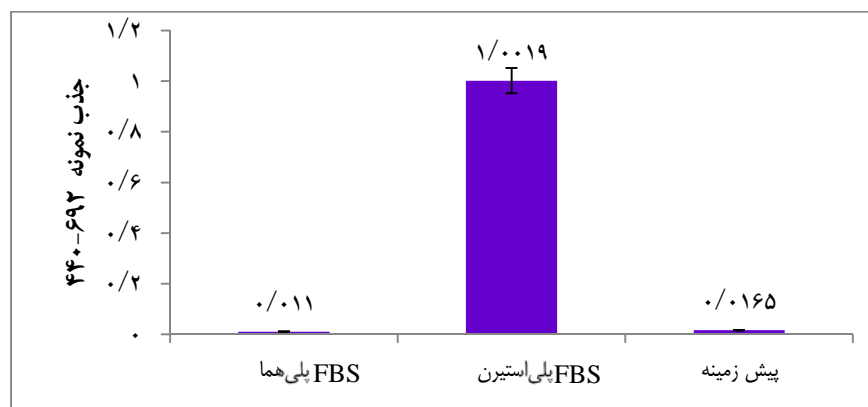
بازیابی سلول‌های کشت شده بر روی پلیمر نشان داد که سلول‌های پوششی رنگدانه‌دار شبکیه‌ی چشم کشت شده بر روی پلیمر، زنده هستند و توانایی بازگشت به حالت اولیه و تشکیل استطلاه‌های بلند را دارند (شکل ۳).

MTT تکثیر و مرگ سلولی

نتایج آزمایش MTT نشان داد که سلول‌های کشت شده بر روی پلیمر زنده هستند و مشابه با سلول‌های MTT کشت شده بر سطح پلی‌استیرن، قابلیت جذب را دارند و اختلاف معنی‌داری بین این دو وجود ندارد (شکل ۴).



شکل ۴. بررسی نتایج آزمایش MTT در سلول‌های پوششی رنگدانه‌دار شبکیه، A: نمودار الیزای حاصل از بررسی سلول‌های پوششی رنگدانه‌دار شبکیه زنده بعد از ۴۸ ساعت کشت بر روی پلی‌استیرن و پلیمر پلی‌ها تحت محیط کشت DMEM/F12 حاوی سرم FBS درصد (این آزمایش ۶ بار تکرار گردید و اختلاف معنی‌دار آماری مشاهده نشد) ($P > 0.050$)



شکل ۵. نمودار الیزا حاصل از بررسی تکثیر سلول‌های پوششی رنگدانه‌دار شبکیه (پاساز ۴) بعد از ۴۸ ساعت کشت بر روی پلی‌استیرن و پلیمر پلی‌ها تحت محیط کشت DMEM/F12 حاوی سرم FBS درصد (این آزمایش ۳ بار تکرار گردید و اختلاف معنی‌دار آماری مشاهده شد) ($P < 0.050$)

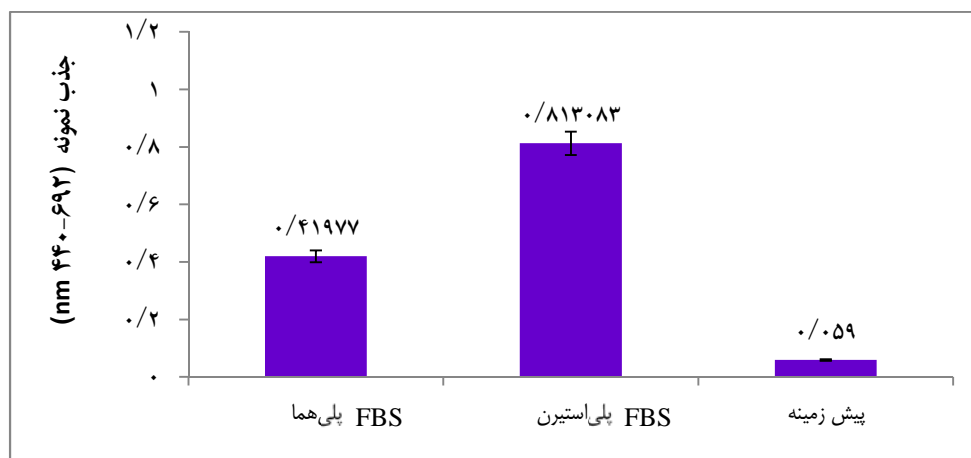
نتایج حاصل از الیزای مرگ سلولی نشان داد که پلیمر، عامل القای مرگ سلولی نبوده است (شکل ۷) و مرگ قابل ملاحظه‌ای در نمونه‌های کشت شده بر روی پلیمر پلی‌ها و سطح پلی‌استیرن مشاهده نشد.

ایمونوستیتوژیمی (ICC)

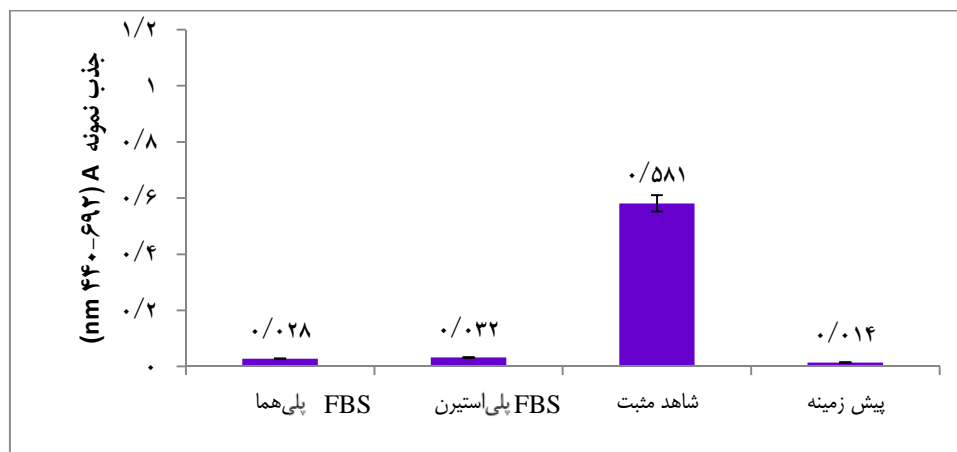
آزمایش ICC بیان پروتئین‌های سایتوکراتین و RPE65 را در نمونه‌های کشت شده بر روی پلی‌ها نشان داد (شکل‌های ۸ و ۹).

نتایج تکثیر نشان داد که تکثیر سلولی در نمونه‌های کشت شده بر روی پلیمر کاهش یافته است و اختلاف معنی‌داری با نمونه‌های پلی‌استیرن مشاهده شد (شکل ۵).

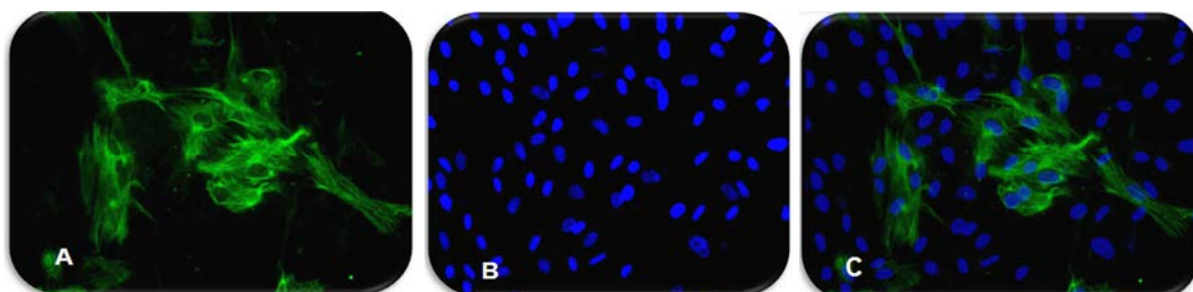
سلول‌ها بعد از کشت ۴۸ ساعته بر روی پلیمر بازیافت شدند. نتایج الیزا بعد از بازیابی سلول‌ها نشان داد که تکثیر سلولی در نمونه‌های پلیمر نسبت به قبل افزایش یافته است، اما هنوز اختلاف معنی‌داری با نمونه‌های پلی‌استیرن دارد (شکل ۶).



شکل ۶. نمودار الیزای حاصل از بررسی تکثیر سلول‌های پوششی رنگدانه‌دار شبکیه (پاساز ۴) تحت محیط کشت DMEM/F12 سرم FBS حاوی ۱۰ درصد بعد از ۴۸ ساعت کشت بر روی پلی‌ها و سپس بازیابی آنها بر روی پلی‌استرین (این آزمایش ۳ بار تکرار گردید و اختلاف معنی‌دار آماری مشاهده شد) ($P < 0.050$)

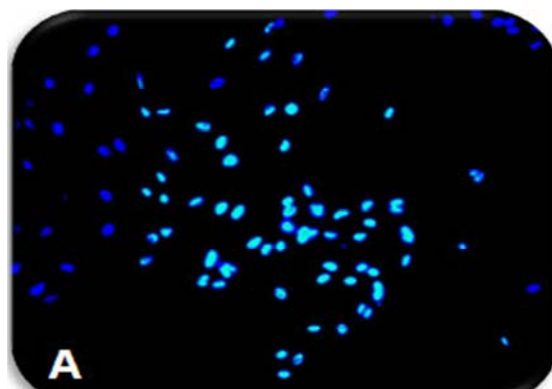


شکل ۷. نمودار الیزای حاصل از بررسی مرگ سلول‌های پوششی رنگدانه‌دار شبکیه (پاساز ۴) بعد از ۴۸ ساعت کشت بر روی پلی‌استرین و پلی‌ها تحت محیط کشت DMEM/F12 سرم FBS حاوی ۱۰ درصد (این آزمایش ۳ بار تکرار گردید و اختلاف معنی‌دار آماری مشاهده نشد) ($P > 0.050$)

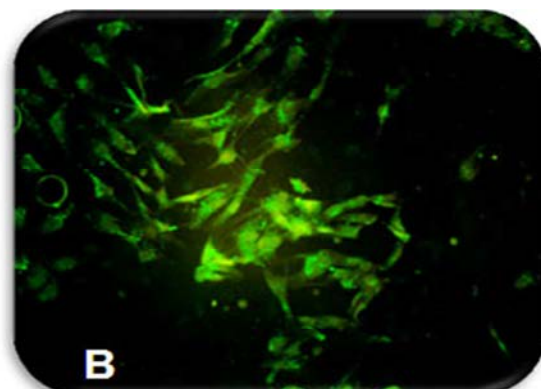


شکل ۸. بیان سیتوکراتین در سلول‌های پوششی رنگدانه‌دار شبکیه (پاساز ۵) کشت داده شده بر روی پلی‌ها تحت محیط غنی شده با ۱۰ درصد، FBS : A. (Fluorescein isothiocyanate) FITC : B. (4',6-diamidino-2-phenylindole) DAPI Merge : C (Fetal bovine serum) (۲۰۰x)

اختلالاتی همچون تخریب ماقولای وابسته به سن و موارد دیگری مرتبط است و جایگزینی اپیتلیوم رنگدانه‌ای چشم در چنین بیمارانی با نجات گیرنده‌های نوری و رفع مشکل همراه است. از این رو، کشت این سلول‌ها و مطالعه‌ی رفتار این سلول‌ها بر روی محیط‌های مختلف با هدف ایجاد دریچه‌هایی به منظور حفظ سلول‌های رنگدانه‌دار شبکیه و در نتیجه حفظ شبکیه و درمان بیماری صورت می‌گیرد.



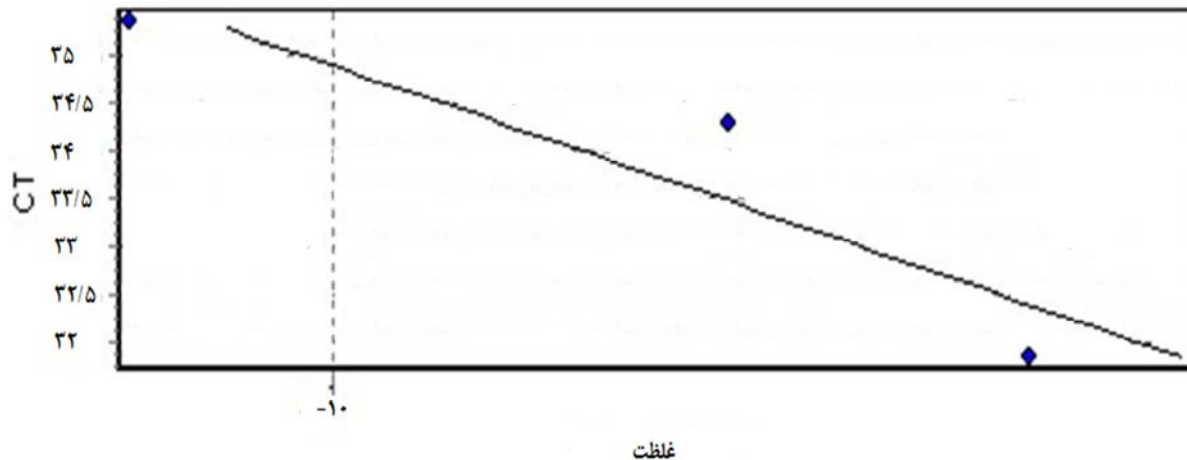
A



B

شکل ۹. بیان ژن RPE65 سلول‌های پوششی رنگدانه‌دار شبکیه (پاساز ۳) کشت داده شده بر روی پلیمر پلی‌ها تحت محیط FBS (4',6-diamidino-2-phenylindole) DAPI : A (درصد ۱۰ $\times 100$) DMEM/F12 + (Fetal bovine serum)

(Fluorescein isothiocyanate) FITC : B



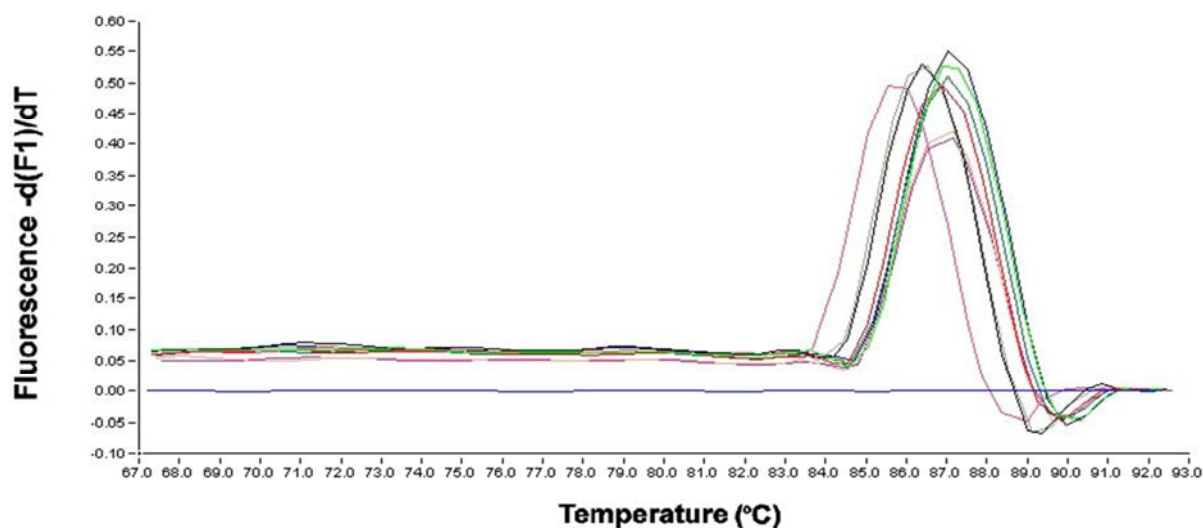
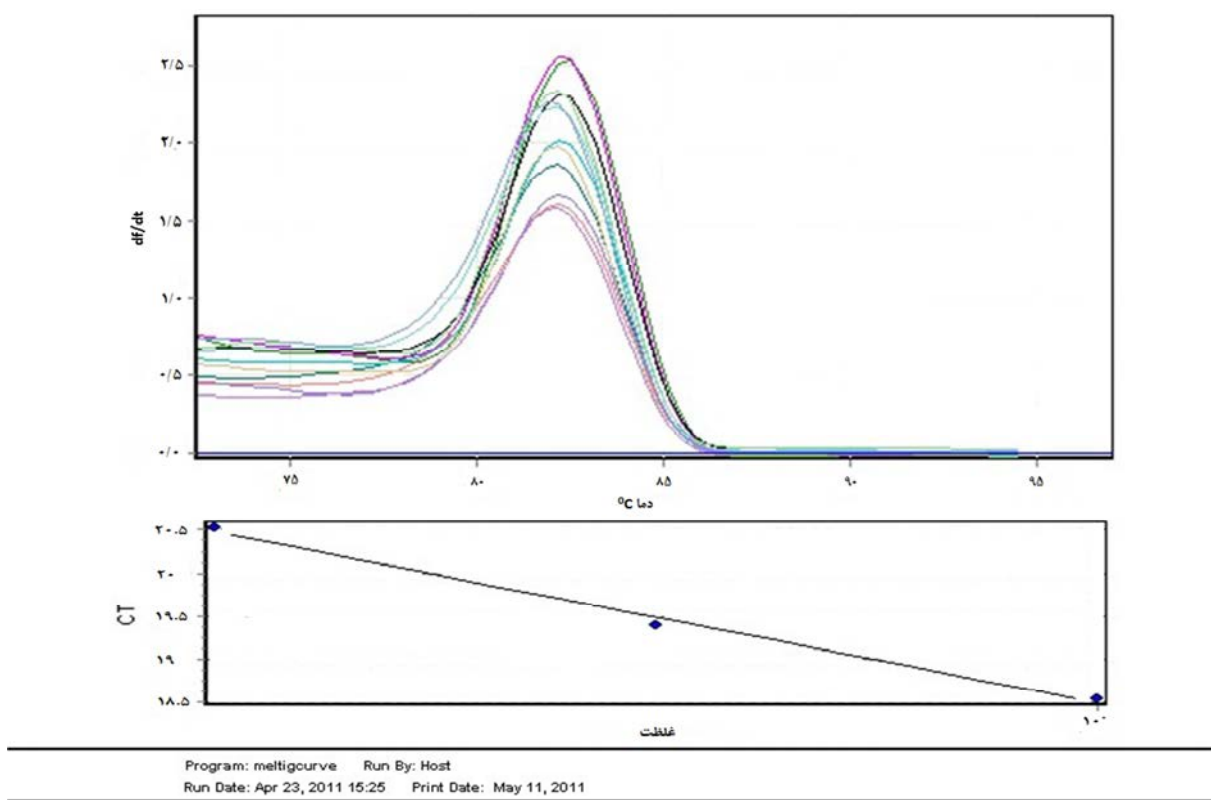
شکل ۱۰. منحنی استاندارد رسم شده برای ژن Tyrosinase (Efficiency = ۹۸ درصد $M = -3/36$, $R = 0.99$)

Real time PCR

منحنی استاندارد ژن‌های Tyrosinase و GAPDH رسم شد (شکل‌های ۱۰ و ۱۱). سپس میزان بیان تیروزیناز در پلیمر، نسبت به سطح پلی‌استیرن سنجیده شد که گویای بیان بالای ژن تیروزیناز در سلول‌های کشت شده بر روی پلیمر، نسبت به پلی‌استیرن بود (شکل ۱۲).

بحث

از دست رفتن عملکرد اپیتلیوم رنگدانه‌ای چشم با



شکل ۱۱. منحنی استاندارد رسم شده برای ژن **Glyceraldehyde 3-phosphate dehydrogenase** (GAPDH)

$(R = 0.99, M = -3/29, \text{Efficiency} = 100\%)$

botyrat co Poly (Hydroxy membering
مافع آمنیوتیک و آلزینات انجام
hydroxyl related)
شده است (۱۷-۱۸).

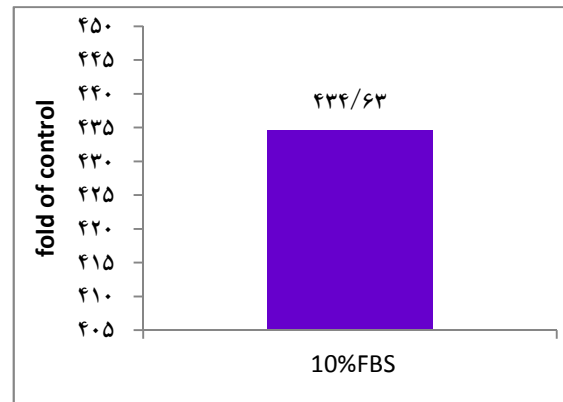
کشت سلول‌های رنگدانه‌دار شبکیه بر روی
ماتریکس‌های مختلف از جمله کلاژن، لامینین،
فیرینیوزن، Plain plastic petri plate،
CryoPreCipitat membering artificial

کندروسیت بر روی آن دارای کاربرد می‌باشد (۱۲-۱۳). Glowacki و همکاران با کشت سلول‌های کندروسیت بر روی پلی‌ها نشان دادند که پلی‌ها موجب می‌شود که سلول‌های کندروسیت حالت گرد به خود بگیرند و در فضای سه بعدی واقع شوند (۲۰). پلی‌ها با ساختار اسفنج مانند خود قابلیت حمل به منظور آزادسازی کنترل شده‌ی داروهای ضد سرطان را دارد (۲۱). همچنین Kon و de Visser بازیابی استخوان‌های آسیب دیده بر روی پلیمر پلی‌ها را نشان دادند (۲۲).

بنابراین سلول‌های غضروف، استخوان، ملانوما و پوست بر روی آن‌ها کشت شده بودند؛ اما سلول‌های رنگدانه‌دار شبکیه بر روی آن‌ها کشت نشده بود. با توجه به کاربرد این پلیمر در لنزهای تماسی، اثر مستقیم پلیمر در حفظ ماهیت سلول‌های پوششی رنگدانه‌دار شبکیه بررسی نشده بود. از این‌رو، در پژوهش حاضر اثر پلیمر بر روی سلول‌های پوششی رنگدانه‌دار شبکیه بررسی شد.

پلیمر پلی‌ها دارای ساختار آب‌گریز است. در نتیجه، سلول‌های رنگدانه‌دار شبکیه‌ی چشم قادر به چسبیدن به سطح پلیمر نیستند و به صورت غیر چسبنده و معلق در محیط، روی سطح این پلیمر قرار می‌گیرند. در واقع سلول‌ها در فضای سه بعدی بین محیط و پلیمر قرار می‌گیرند (۱۰، ۱۶). سلول‌های پوششی رنگدانه‌دار شبکیه‌ی چشم به طور ذاتی توانایی چسبندگی دارند. به همین دلیل، وقتی در سطح پلی‌استیرن کشت داده می‌شوند، به سطح کف فلاسک می‌چسبند و مورفولوژی کشیده با استطاله‌ی بلند پیدا می‌کنند. وقتی سلول‌های پوششی رنگدانه‌دار شبکیه‌ی چشم در سطح پلیمر پلی‌ها قرار می‌گیرند،

به نقل از Packard و همکاران در اوایل دهه ۱۹۵۰



شکل ۱۲. میزان بیان ژن **Tyrosinase** در سلول‌های پوششی رنگدانه‌دار شبکیه بر روی پلیمر پلی‌ها (۱۰ درصد + DMEM/F) نسبت به پلی‌استیرن

Wichterle و Lim شروع به طراحی پلیمری برای مصارف پزشکی کردند و اولین لنزی را که حاوی پلی‌ها بود، کشف کردند. این پلیمر شرایط سازگار با داخل چشم را دارد و در تماس با سلول‌های چشم تغییر نمی‌کند؛ ارزان، در دسترس و قابل پذیرش برای بدن است و آرژی ایجاد نمی‌کند (۱۹).

این پلیمر دارای محتوای آبی مشابه با سلول‌های زنده، نفوذ پذیر نسبت به متابولیت‌ها و مقاوم نسبت به جذب توسط بدن با زیست سازگاری بسیار بالا و غیر ایمونوژنیک است و به راحتی به صورت اشکال و فرم‌های متفاوت قابل ساخت و قابل استریل شدن می‌باشد (۱۱).

ژل‌های آب‌دوست سه بعدی بر پایه‌ی پلی‌ها، به عنوان داربست‌هایی برای بازسازی بافت‌های نرم نظیر بافت عصبی، ماهیچه، تاندون و غیره طراحی می‌شوند. همچنین خصوصیات فیزیکی - شیمیایی این هیدروژل آب‌دوست، شباهت بسیاری به ماتریکس غضروف دارد. بنابراین، جهت کشت سلول‌های

سلولی نیست. تکثیر سلول‌های کشت شده بر روی پلیمر نسبت به حالت پلی‌استیرن سنجیده شد.

تکثیر بسیار کمی در حالت‌های پلیمر وجود دارد که با توجه به زنده بودن سلول‌ها و عدم مرگ آن‌ها در بازده زمانی مورد نظر دو فرضیه مطرح می‌شود:

۱- تشکیل کلونی‌های سلولی مشابه با بافت زیستی است و از قانون ممانعت تماسی در بافت پیروی می‌کند. در نتیجه، تماس سلول‌ها با یکدیگر سیگنال‌های عدم تکثیر سلولی را ایجاد می‌کند.

۲- به دلیل تراکم سلولی، Anti-BrdU قادر به نفوذ به داخل سلول‌ها در شرایط کلونی نیست. بنابراین تقسیم سلولی قابل ملاحظه‌ای دیده نمی‌شود. با توجه به این که بازه زمانی در آزمایش MTT و BrdU یکسان می‌باشد، مشخص نیست در این بازه زمانی چه اتفاقی افتاده است؛ اما آنچه واضح است، این است که بعد از ۴۸ ساعت، وقتی MTT و BrdU در اختیار سلول‌های پوششی رنگدانه‌دار شبکیه‌ی چشم قرار می‌گیرد، سلول‌هایی که MTT را دریافت می‌کنند، مشابه با نمونه‌ی پلی‌استیرن است. این در صورتی است که سلول‌ها در پلیمر قدرت تکثیر خیلی کمتر از نمونه‌ی پلی‌استیرن را نشان می‌دهند.

Klein و همکاران نشان دادند که تکثیر سلول‌های ملانوما بر روی پلیمر پلی‌هاما، با سرعت پایین‌تری با همان دانسیته نسبت به پلی‌استیرن صورت می‌گیرد و در بین سلول‌ها، کلونی‌های پلی‌کاربوسیت‌ها را می‌توان دید (۱۰). همچنین Glowacki و همکاران تکثیر کاهش یافته را در بین سلول‌های کلونی کندروسیت نشان دادند (۲۰). با توجه به این که علاوه بر سلول‌های پوششی رنگدانه‌دار شبکیه، سلول‌های دیگر نیز کاهش تکثیر سلولی را نشان

پلیمر باعث می‌شود سطح چسبنده در اختیار آن‌ها نباشد و سلول‌ها به صورت معلق در فضای سه بعدی پلیمر و محیط قرار بگیرند. در نتیجه، به علت خصوصیت چسبنده‌گی ذاتی سلول‌ها، سلول‌ها به یکدیگر می‌چسبند و کلونی‌های سلولی مشابه با بافت زیستی را تشکیل می‌دهند.

با گذشت زمان، کلونی‌ها به یکدیگر می‌چسبند و کلونی بزرگتری را تشکیل می‌دهند. به نظر می‌رسد عوامل رشد، زمینه‌ای را فراهم می‌آورند که با گذشت زمان کلونی‌ها بیشتر به یکدیگر متصل شوند و کلونی‌های واحد بزرگی را تشکیل دهنند؛ به طوری که این کلونی‌ها با چشم غیر مسلح قابل دیدن و در فلاسک سلولی قابل شمارش هستند. کلونی‌های تشکیل شده، رنگ تیره (غیر قابل نفوذ نسبت به نور) به خود می‌گیرند که وجود این رنگ را می‌توان به تراکم سلولی موجود در کلونی‌ها و وجود رنگدانه‌ی ملانین در سلول‌های پوششی رنگدانه‌دار شبکیه‌ی چشم نسبت داد.

نتایج آزمایش MTT نشان دهنده‌ی سلول‌های زنده است. در حضور FBS، سلول‌های زنده‌ی موجود بر روی پلیمر با نمونه‌های کشت شده بر روی پلی‌استیرن تا حدودی برابری می‌کند. زنده بودن سلول‌ها با بازیابی مجدد آن‌ها از روی پلیمر پلی‌هاما و کشت بر روی پلی‌استیرن نیز اثبات شد. با گذشت زمان، کلونی‌ها بزرگ‌تر و تراکم سلولی آن‌ها بیشتر می‌شود و بازیابی سلول‌ها مشکل‌تر به نظر می‌رسد.

مرگ سلولی در شرایطی که سلول‌های پوششی رنگدانه‌دار شبکیه‌ی چشم بر روی پلیمر پلی‌هاما کشت داده شوند، بسیار کم و مانند پلی‌استیرن است. پس می‌توان نتیجه گرفت که پلیمر، عاملی برای مرگ

بنابراین تأثیر همزمان پلیمر و FBS موجب می‌شود افزایش بیان صورت گیرد.

میزان بیان نشانگر در شرایط کشت سلول بر روی پلیمر تحت محیط DMEM/F12 حاوی FBS نسبت به سلول‌های کشت شده بر روی پلی‌استیرن این داده را تأیید می‌کند. بیان بالای تیروزیناز و تراکم سلولی با بیان ملانین و تیره شدن کلونی‌ها مطابق است.

در پایان چنین نتیجه‌گیری می‌شود که پلیمر پلی‌ها شرایط لازم برای زندگانی سلول‌ها و بیان بالای ملانین فراهم می‌آورد. بنابراین به نظر می‌رسد شرایط مناسب برای حفظ ماهیت و کشت سلول‌های پوششی رنگدانه‌دار شبکیه‌ی چشم فراهم می‌آورد که از این سلول‌ها بتوان در درمان سلول‌های شبکیه استفاده کرد.

تشکر و قدردانی

این پژوهش با حمایت مالی پژوهشکده‌ی ملی مهندسی زنگنه و زیست فناوری تهران و همکاری سازمان ملی چشم ایران به انجام رسید. به این وسیله ار زحمات مسئولین این مرکز تشکر و قدردانی می‌گردد.

References

1. Klimanskaya I, Hipp J, Rezai KA, West M, Atala A, Lanza R. Derivation and comparative assessment of retinal pigment epithelium from human embryonic stem cells using transcriptomics. *Cloning Stem Cells* 2004; 6(3): 217-45.
2. Strauss O. The retinal pigment epithelium in visual function. *Physiol Rev* 2005; 85(3): 845-81.
3. Willermain F, Caspers-Velu L, Nowak B, Stordeur P, Mosselmans R, Salmon I, et al. Retinal pigment epithelial cells phagocytosis of T lymphocytes: possible implication in the immune privilege of the eye. *Br J Ophthalmol* 2002; 86(12): 1417-21.
4. Pons M, Marin-Castano ME. Nicotine increases the VEGF/PEDF ratio in retinal pigment epithelium: a possible mechanism for CNV in passive smokers with AMD. *Invest Ophthalmol Vis Sci* 2011; 52(6): 3842-53.
5. Baraboi VA. Melanin: structure, biosynthesis, biological functions. *Ukr Biokhim Zh* 1999; 71(4): 5-14. [In Russian].
6. Limb GA, Daniels JT. Ocular regeneration by stem cells: present status and future prospects. *Br Med Bull* 2008; 85: 47-61.
7. Barton DE, Kwon BS, Francke U. Human tyrosinase gene, mapped to chromosome 11 (q14----q21), defines second region of

می‌دهند، فرضیه‌ی اول صحیح‌تر به نظر می‌رسد؛ اما این مسئله اثبات نشده است.

نتایج حاصل از ایمنوستیوشیمی کشت‌های رنگدانه‌دار شبکیه‌ی چشم بر روی پلی‌ها، نشان داد که بیان پروتئین سایتوکراتین و RPE65 که از نشانگرهای اختصاصی سلول‌های پوششی رنگدانه‌دار شبکیه‌ی چشم هستند، در شرایط کشت سلول‌های پوششی رنگدانه‌دار شبکیه‌ی چشم بر روی پلیمر، تا حدودی برابر با حالت پلی‌استیرن است.

تیروزیناز را به عنوان مونوفنول مونواکسیزناز می‌شناسند. این آنزیم با اکسیداسیون فنول مانند تیروزین و دوپامین موجب ایجاد رنگدانه می‌شود. در حیوانات و گیاهان با عمل اکسیداسیون خود، موجب تولید ملانین و دیگر پیگمان‌ها می‌شود که ایجاد کننده‌ی رنگ سیاه در آن‌ها است (۷). زمانی که FBS در شرایط کشت سلول بر روی پلیمر اضافه می‌شود، افزایش بیان (۱۲۵/۲۴) برابری) را نسبت به سلول‌های کشت شده بر روی پلی‌استیرن تحت محیط DMEM/F12 نشان می‌دهد.

- homology with mouse chromosome 7. *Genomics* 1988; 3(1): 17-24.
8. Elejalde BR, Holguin J, Valencia A, Gilbert EF, Molina J, Marin G, et al. Mutations affecting pigmentation in man: I. Neuroectodermal melanolysosomal disease. *Am J Med Genet* 1979; 3(1): 65-80.
 9. Kwon BS, Haq AK, Pomerantz SH, Halaban R. Isolation and sequence of a cDNA clone for human tyrosinase that maps at the mouse c-albino locus. *Proc Natl Acad Sci USA* 1987; 84(21): 7473-7.
 10. Klein PA, Xiang JH, Kimura AK. Melanoma cells growing in aggregates on a non-adhesive poly(HEMA) substrate exhibit polykaryocytosis but do not develop an increased metastatic capability. *Clin Exp Metastasis* 1984; 2(4): 287-95.
 11. Studenovska H, Slouf M, Rypacek F. Poly(HEMA) hydrogels with controlled pore architecture for tissue regeneration applications. *J Mater Sci Mater Med* 2008; 19(2): 615-21.
 12. Lombello CB, Malmonge SM, Wada ML. PolyHEMA and polyHEMA-poly(MMA-co-AA) as substrates for culturing Vero cells. *J Mater Sci Mater Med* 2000; 11(9): 541-6.
 13. Flynn L, Dalton PD, Shoichet MS. Fiber templating of poly(2-hydroxyethyl methacrylate) for neural tissue engineering. *Biomaterials* 2003; 24(23): 4265-72.
 14. Seidel JM, Malmonge SnM. Synthesis of polyHEMA hydrogels for using as biomaterials. Bulk and solution radical-initiated polymerization techniques. *Materials Research* 2000; 3: 79-83.
 15. Goda T, Ishihara K. Soft contact lens biomaterials from bioinspired phospholipid polymers. *Expert Rev Med Devices* 2006; 3(2): 167-74.
 16. Chirila TV. Melanized poly(HEMA) hydrogels: basic research and potential use. *J Biomater Appl* 1993; 8(2): 106-45.
 17. Sajadi SM, Samiei Sh, Kheirandish M, Ataie Z, Meshkani R, Kavari M, et al. The association of FXIII Val34Leu polymorphism with thrombotic events in patients referring to Iranian Blood Transfusion Organization. *Sci J Iran Blood Transfus Organ* 2008; 4(4): 247-52.
 18. Soheili Z, Samiei S. Real time PCR: principles and application. *Hepat Mon* 2005; 5(3): 83-7.
 19. Packard RB, Garner A, Arnott EJ. Poly-HEMA as a material for intraocular lens implantation: a preliminary report. *Br J Ophthalmol* 1981; 65(8): 585-7.
 20. Glowacki J, Trepman E, Folkman J. Cell shape and phenotypic expression in chondrocytes. *Proc Soc Exp Biol Med* 1983; 172(1): 93-8.
 21. Jeyanthi R, Rao KP. Controlled release of anticancer drugs from collagen-poly(HEMA) hydrogel matrices. *J Controlled Rel* 1990; 13(1): 91-8.
 22. Kon M, de Visser AC. A poly(HEMA) sponge for restoration of articular cartilage defects. *Plast Reconstr Surg* 1981; 67(3): 288-94.

Study the Effect of PolyHEMA As a Cell Culture Substrate on Viable and Preserving Nature of RPE Cells

Fatemeh Nazem-Roaya MSc¹, Zahra-Soheila Soheili PhD², Razeih Heidari MSc¹, Abdolkhalegh Deezagi PhD², Hamid Ahmadieh PhD³, Shahram Samiei PhD⁴, Abozar Bagheri MSc¹

Original Article

Abstract

Background: RPE cells play an important role in the maintenance of normal function of the retina. Tyrosinase is a marker of RPE cells that functions in synthesis of melanin .Polymer of PolyHEMA is the basic component of contact lenses. In the current study we investigated effect of PolyHEMA as a cell culture substrate on viable and preserving nature of RPE cells.

Methods: RPE Cells between passages 2 and 5 were cultured on PolyHEMA (12mg/ml) in 24 wells culture palates. DMEM/F12 +10%FBS were used to nourish cultured cells on polystyrene and PolyHEMA coated vessels. Morphology, MTT assay, the rate of cell proliferation and cell death of RPE cells cultuered on polyHEMA polymer were evaluated in periodic time. real time polymerase chain reaction (RT-PCR) was also performed to evaluate Tyrosinase in cultured RPE cells.

Findings: It was observed that the cells cultured on polyHEMA formed many colonies .These colonies could be re-cultured on polystyrene. The number of RPE cells on polyHEMA and polystyrene were the same while the proliferation rate of the cultured cells on polyHEMA was reduced; no remarkable cell death was detected on Polymer and on Polystyrene plates. The giant colonies which were formed on polyHEMA were re-cultured. The expression of Tyrosinase gene, equality 434.65 was detected in cultured RPE cells on the polymer.

Conclusion: PolyHEMA is a hydrophobic polymer. When RPE cells were cultured on polyHEMA they could not adhere to substrate and formed many colonies. Based on our study poly HEMA did not induce cell death in RPE cells but the proliferation of cells was reduced, it seems that contact inhibition between cells colony or anti Brdu doesn't penetrate in the cells were cultured on polyHEMA , so the proliferation rate was seen to be less than the controls. Tyrosinase expression revealed that PolyHEMA could support RPE cultures to establish their population as the main constituents of the giant colonies.

Keywords: RPE cell, polymer of polyHEMA, Tyrosinase

Citation: Nazem-Roaya F, Soheili ZS, Heidari R, Deezagi A, Ahmadieh H, Samiei Sh, et al. Study the Effect of PolyHEMA As a Cell Culture Substrate on Viable and Preserving Nature of RPE Cells. J Isfahan Med Sch 2014; 32(300): ??.

1- National Institute of Genetic Engineering and Biotechnology, Tehran, Iran

2- Assistant Professor, National Institute of Genetic Engineering and Biotechnology, Tehran, Iran

3- Assistant Professor, Ophthalmic Research Center, Shahid Beheshti University of Medical Sciences, Tehran, Iran

4- Assistant Professor, Iranian Blood Transfusion Organization Research Center

Corresponding Author: Fatemeh Nazem-Roaya MSc, Email: nazemroaya@yahoo.com